

## ВЛИЯНИЕ ДИАМЕТРА НАГРЕВАТЕЛЯ НА КРИТИЧЕСКИЙ ТЕПЛОВОЙ ПОТОК ПРИ КИПЕНИИ

*Ш. А. Гайдаров, Л. Н. Григорьев, А. Г. Усманов*

*(Казань)*

Изучение закономерностей кризиса кипения имеет большое теоретическое и практическое значение. Между тем, некоторые стороны кризиса кипения мало исследованы. В частности, нет полной ясности по вопросу о влиянии геометрических размеров нагревателя на критический поток  $q_*$ , несмотря на то, что наличие такого влияния уже установлено в ряде экспериментальных работ.

В работах [1-4] приведены результаты измерений критических тепловых потоков  $q_*$  при кипении воды на нагревателях разных размеров. Однако по их данным нельзя четко установить характер зависимости критического потока от диаметра нагревателя  $d$ .

Более систематическое рассмотрение вопроса при кипении чистых жидкостей было проведено в работе [5]. В этой работе исследовано влияние диаметра нагревателя на  $q_*$  для воды и этилового спирта при горизонтальном и вертикальном расположении нагревателя. При этом диаметр изменялся в пределах от 0.1 до 6 мм. В литературе нет данных по кризису на нагревателях  $p < 0.1$  мм и мало сведений о влиянии размеров нагревателя на  $q_*$  при кипении смесей. Впервые этот вопрос был исследован в работе [6] для водных растворов бутилового и этилового спиртов на проволоках  $d = 0.5$  мм и пластинках шириной 6 мм из никхрома. В данном сообщении приведены результаты измерений  $q_*$  на нагревателях различных диаметров при кипении некоторых чистых жидкостей и бинарных смесей. Величины  $q_*$  определялись на горизонтальных цилиндрах диаметром от 0.02 до 6 мм.

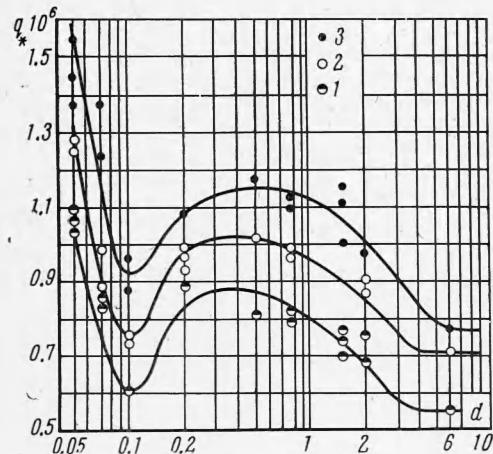
Нагреватели диаметром от 0.5 до 6 мм были изготовлены из нержавеющей стали Ix18H9T, от 0.5 до 0.05 мм — из никхрома, 0.02 мм — из меди.

Нержавеющая сталь указанной марки и никхром близки по составу. Поэтому можно считать, что материал почти всех нагревателей был одним и тем же.

Перед опытом нагреватели, зачищенные микронной наждачной бумагой и обезжиренные ацетоном, подвергались стабилизации.

Исследования проводились при кипении в большом объеме при атмосферном давлении.

Кризис определялся визуально: на диаметрах от 0.2 мм — по местному покраснению, а на диаметрах ниже 0.2 мм — по появлению на участке поверхности «гребешковидной» паровой пленки, которая при дальнейшем увеличении нагрузки распространялась на всю поверхность нагрева.



Фиг. 2

На фиг. 1 показана зависимость критической плотности теплового потока  $q_*$  от диаметра цилиндрического нагревателя  $d$  по опытам с бензином (кривая и точки 1), ацетоном (кривая и точки 2) и этиловым спиртом (кривая и точки 3). Здесь же на кривой 3 нанесены данные по этиловому спирту (точки 4), взятые из работы [5]. Полученные данные согласуются с данными работы [5] при  $d \geq 0.1$  мм.

Как видно из фигуры, существует область, в которой существенно проявляется влияние диаметра нагревателя и наблюдаются экстремальные значения  $q_*$ , причем для  $d < 0.1$  мм наблюдается резкое возрастание  $q_*$ .

На фиг. 2 показана зависимость  $q_*$  от  $d$  при кипении бинарной смеси ацетон — вода для объемных концентраций 10, 20 и 30% воды (кривые и точки 1, 2, 3 соответственно). Характер зависимости  $q_*$  от диаметра для этих смесей сохраняет тот же вид, что и для чистых жидкостей.

Попытки обобщения полученных экспериментальных данных по предложенной в работе [5] методике не привели к положительным результатам.

Проведенные исследования показывают, что влияние диаметра нагревателя на критический поток при кипении сложнее, чем было установлено ранее [5].

Поступила 14 XII 1965

#### ЛИТЕРАТУРА

1. F a r b e r E. A., Scorah R. L. Heat Transfer to Water Under Pressure. Trans ASME, 1948, vol. 70.
2. S a u e r E. T., C o o p e r H. B. H., A k i n G. A., M c A d a m s W. H. Heat Transfer to Boiling Liquids. Mech. Engng, 1938, vol. 60, p. 669.
3. V a n W i j k W. R., V o s A. S., V a n S t r a l e n S. J. D. Heat Transfer to Boiling Binary Liquid Mixtures. Chem. Engng Sci., 1956, vol. 5, p. 68.
4. M c A d a m s W. H., K e n n e l W. E., M i n d e n C. S. P i c o r n e l l P. M., D e w J. E. Heat Transfer and High Rates to Water With Surface Boiling. Industr. and Engng Chem., 1949, vol. 41, p. 1945.
5. Б о б р о в и ч Г. И., Г о г о н и н И. И., К у т а т е л а д з е С. С. Влияние размера поверхности нагрева на критический тепловой поток при кипении в большом объеме жидкости. ПМТФ, 1964, № 4.
6. Б о б р о в и ч Г. И., Г о г о н и н И. И., К у т а т е л а д з е С. С., М о с к в и ч е в а В. Н. Критические тепловые потоки при кипении бинарных смесей. ПМТФ, 1962, № 4.

#### РАСЧЕТ ТЕПЛООБМЕНА ПРИ ЛАМИНАРНОМ ТЕЧЕНИИ В ТРУБАХ ЖИДКОСТЕЙ СО СТРУКТУРНОЙ ВЯЗКОСТЬЮ

**В. И. Попов, Е. М. Хабахнашева**

(Новосибирск)

Получены выражения для безразмерных критериев теплоотдачи структурно-вязких жидкостей для условий  $t_w = \text{const}$  и  $q_w = \text{const}$  в случае ламинарного квазизотермического течения.

Рассмотрим случай квазизотермического течения жидкостей со структурной вязкостью, т. е. предположим, что перепады температур по радиусу трубы таковы, что теплопроводность, теплоемкость и плотность жидкости можно считать постоянными по сечению, а вязкость — зависящей только от касательного напряжения сдвига  $\tau$ .

Уравнение энергии в установившемся осесимметричном прямолинейном ламинарном потоке для значений числа Пекле ( $P > 10$ ) в цилиндрических координатах можно записать в виде

$$W \frac{\partial t}{\partial x} = \frac{a}{r} \frac{\partial}{\partial r} \left( r \frac{\partial t}{\partial r} \right) \quad (1)$$

Здесь  $W$  — скорость потока,  $t$  — температура потока,  $a$  — коэффициент температуропроводности.

Общий вид зависимости текучести от напряжения сдвига  $\varphi(\tau)$  для структурно-вязкой жидкости, реологические характеристики которой не зависят от времени, был предложен в работе [1]. Для жидкостей с линейным, квадратичным и т. д. законом текучести уравнение для градиента скорости при  $\tau_1 \approx 0$  можно записать в виде

$$\frac{dW}{dr_1} = -\Phi_0 \left[ 1 + \sum_{n=1}^m \frac{\Phi^n}{\Phi_0} \tau^n \right] \tau \quad (2)$$

Здесь  $\Phi_0$  — нулевая текучесть (текучесть при  $\tau \rightarrow 0$ ),  $0$  — коэффициент структурной устойчивости,  $\tau$  — касательное напряжение сдвига. На участке стабилизированного течения распределение касательных напряжений по сечению трубы имеет вид

$$\tau = \tau_w \xi \quad (\xi = r/R) \quad (3)$$

Здесь  $\tau_w$  — касательное напряжение сдвига на стенке. Подставляя (3) в (2) и интегрируя при условии  $W=0$  при  $\xi=1$ , получаем распределение скоростей

$$W = \frac{R\Phi_0\tau_w}{2} \left[ 1 - \xi^2 + \sum_{n=1}^m \frac{2}{n+2} \frac{\Phi^n}{\Phi_0} \tau_w^n (1 - \xi^{n+2}) \right] \quad (4)$$